

高等学校教学用书

内燃机車液力及机械传动

铁道部教材编辑组选编

人民铁道出版社

本書系鐵道部教材編輯組選編，並推薦作為高等學校教學用書，適用於熱力機車（內燃機車）專業。

本書分為機械傳動和液力傳動兩部分。在機械傳動部分說明了內燃機車機械傳動裝置的工作原理及設計計算的方法。在液力傳動部分說明了動液傳動元件（偶合器和變扭器）的構造、工作原理及特性，並分析了目前內燃機車上所用的幾種主要類型的液力傳動裝置，說明其結構和作用以及設計內燃機車液力傳動裝置的一般方法。

本書是以唐山鐵道學院和上海交通大學的原有講義為基礎。書中的第一部分由上海交通大學熱力機車教研組改編定稿，第二部分由唐山鐵道學院內燃機車教研組改編定稿。

高等學校教學用書
內燃機車液力及機械傳動

鐵道部教材編輯組選編

人民鐵道出版社出版

（北京市霞公府17號）

北京市書刊出版業營業許可證出字第010號

新華書店科技發行所發行

各地新華書店經售

人民鐵道出版社印刷廠印

書號 1788 開本 $787 \times 1092 \frac{1}{16}$ 印張 $6 \frac{1}{8}$ 字數 167 千

1961年7月第1版

1961年7月第1版第1次印刷

印數 0,001—900 冊 定價 (10) 0.86 元

目 录

緒 論

§ 1. 內燃機車傳動裝置的必要性.....	1
§ 2. 內燃機車三種基本傳動裝置.....	3

第一部分 机械传动

§ 1. 机械傳動裝置的工作原理.....	6
§ 2. 机械傳動裝置的設計計算.....	9
§ 3. 主離合器和檔位離合器.....	13

第二部分 液力传动

第一章 液力偶合器.....	18
§ 1. 偶合器的构造及工作原理.....	18
§ 2. 偶合器的扭矩計算公式及扭矩系数.....	20
§ 3. 偶合器的能量平衡.....	22
§ 4. 偶合器的外特性曲綫及无因次特性曲綫.....	23
§ 5. 偶合器与发动机共同工作时的特性曲綫.....	25
§ 6. 偶合器的构造对其特性的影响.....	28
§ 7. 偶合器工况的調節方法.....	31
§ 8. 偶合器的設計計算.....	33
第二章 液力变扭器.....	36
§ 1. 变扭器的构造及工作原理.....	36
§ 2. 变扭器泵輪和渦輪的扭矩計算公式及扭矩系数.....	38
§ 3. 变扭器的能量平衡.....	39
§ 4. 变扭器的外特性曲綫及无因次特性曲綫.....	43
§ 5. 变扭器的非可透性、正可透性和負可透性.....	47
§ 6. 变扭器和发动机共同工作时的特性曲綫.....	48
§ 7. 用类比法决定变扭器的尺寸.....	54
§ 8. 变扭器的分类及实例.....	55
§ 9. 复合式变扭器.....	59
§ 10. 变扭器工况的調節方法.....	61
§ 11. 变扭器工作輪的水力計算和設計.....	64
第三章 內燃機車的液力传动裝置.....	72
§ 1. 机車液力傳動裝置的分类.....	72
§ 2. 液力傳動裝置的主要类型.....	73
第四章 內燃機車液力传动裝置的控制、冷却和供油.....	78
§ 1. 对內燃機車液力傳動裝置控制系統的要求.....	78
§ 2. 內燃機車液力傳動裝置的控制系統.....	82

§ 3. 内燃机車液力傳动装置的冷却.....	85
§ 4. 内燃机車液力傳动装置的供油.....	86
第五章 内燃机車液力传动装置的設計.....	89
§ 1. 选择液力傳动装置的型式.....	89
§ 2. 选择变扭器和偶合器.....	90
§ 3. 选择泵輪轉速和决定增速齒輪的傳動比.....	90
§ 4. 确定变扭器和偶合器的尺寸并繪出与发动机共同工作的特性曲綫.....	91
§ 5. 确定变扭器和偶合器的工作范围和各档的机械傳动比.....	92
§ 6. 繪机車的牵引特性曲綫.....	94

緒論

§1. 内燃机車传动裝置的必要性

内燃机車是铁路运输的牵引动力。从铁路运输的要求来看，内燃机車应具有以下的牵引特性：

1. 机車在工作过程中，由于列車重量和线路纵断面的不同，机車的运行速度将在很大的范围内变化。机車运行速度的变化范围称为机車工作速度范围，可用 P 表示。即

$$P = \frac{V_{\max}}{V_{\min}} \quad (0-1)$$

式中 P —— 机車工作速度范围；

V_{\max} —— 机車的最大工作速度，也即机車的构造速度；

V_{\min} —— 机車的最小持久工作速度，也即机車牵引列車在計算坡道上运行时的平衡速度。

随着机車的用途不同，要求的 P 值也不相同。对于干线机車，要求 $P = 5 \sim 8$ ；对于调车机車，要求 $P = 6 \sim 10$ 。

2. 为了提高铁路的通过能力，机車应能在保证行車安全的条件下（机車速度不超过 V_{\max} ）以尽可能高的速度牵引列車运行，而当机車在低速（机車速度大于 V_{\min} ）时，又能牵引列車很快加速或者是有可能牵引較重的列車。因此在机車速度自最小持久工作速度 V_{\min} 至最大速度 V_{\max} 之間，机車应以尽可能大的功率工作。換句話說，在机車的工作速度范围以内，机車应始終能以最大的功率工作。

因此，机車在工作速度范围内的动輪輪周功率可以以下式表示：

$$N_k = \frac{F_k \cdot V}{270} = N_{k, \max} = \text{常数} \quad (0-2)$$

式中 N_k —— 机車动輪輪周功率，马力；

F_k —— 机車动輪輪周牵引力，公斤；

V —— 机車速度，公里/时。

(0-2) 式中所表示的牵引力和速度的关系是双曲线（見图0-1）。这就是铁路运输所要求的机車的理想牵引特性曲线。

傳到机車动輪輪周的功率主要决定于发动机的功率。如果在机車的工作速度范围内，机車发动机输出的有效功率为 N_e ，而发动机的最大有效功率为 $N_{e, \max}$ ，則发动机的功率输出率 φ 为

$$\varphi = \frac{N_e}{N_{e, \max}} \quad (0-3)$$

显然，为了使机車在工作速度范围内的輪周功率始終保持最大值， φ 必須始終等于 1。

此外，发动机的功率是通过发动机曲軸和机車动輪之間的驅動装置而傳到动輪上的，驅動装置在传递功率的过程中要消耗一部分能量，所以机車的輪周功率 $N_k = N_e \cdot \eta_n$ (η_n —— 机車的驅動效率)。

輪周功率是发动机功率中可利用来牵引列車的部分，故发动机的功率利用率 ψ 为

$$\psi = \frac{N_k}{N_{e, \max}} = \frac{N_e}{N_{e, \max}} \cdot \eta_n = \varphi \cdot \eta_n \quad (0-4)$$

故为了使机車的輪周功率在工作速度范围内始終保持最大值，除了 φ 始終等于 1 外，驅

动效率 η_n 也必須始終保持最大值。

3. 列車在起動及以低速（速度小於 V_{min} ）運行時，機車的輪周牽引力受粘着牽引力的限制。為了充分利用機車的粘着重量，當機車速度在 $0 \sim V_{min}$ 之間時，輪周牽引力應等於粘着牽引力。這一要求也反映在圖0—1上。

在干綫機車中，起動時的輪周牽引力 F_{k0} 與在最大工作速度時的輪周牽引力之比 $\frac{F_{k0}}{F_{k,v_{max}}}$ 往往大於10。

目前內燃機車上所用的發動機基本上是柴油機。柴油機的特性曲線如圖0—2所示。

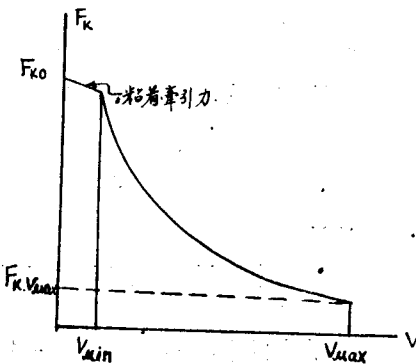


圖0—1 機車的理想牽引特性曲線

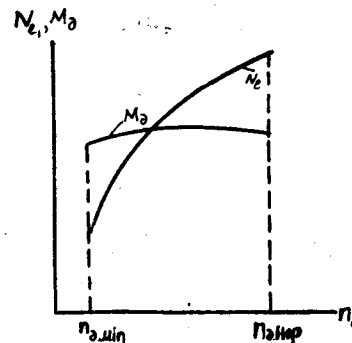


圖0—2 柴油機的特性曲線

當柴油機的曲軸通過驅動裝置和機車動軸相連時，機車速度就與柴油機轉速成正比即 $V \propto n_d$ 。這時候的機車工作速度範圍

$$P = \frac{V_{max}}{V_{min}} = \frac{n_{d,hop}}{n_{d,min}} = \delta \quad (0-5)$$

式中 $\delta = \frac{n_{d,hop}}{n_{d,min}}$ —— 柴油機的轉速範圍，或稱柴油機的彈性系數；

$n_{d,hop}$ —— 柴油機額定轉速；

$n_{d,min}$ —— 柴油機最小工作轉速。

對於大馬力的柴油機， $\delta = 2 \sim 3$ 。因此由(0—5)式所決定的機車工作速度範圍 $P = 2 \sim 3$ ，故不能滿足鐵路運輸的要求。

此時，由柴油機扭矩所產生的機車輪周牽引力為

$$F_k = \frac{2M_d}{D_k} \cdot \frac{1}{i} \cdot \eta_n \quad (0-6)$$

式中 M_d —— 柴油機的扭矩；

D_k —— 機車動輪直徑；

$i = \frac{n_k}{n_d}$ —— 機車驅動裝置的傳動比；

n_k —— 機車動輪轉速；

n_d —— 柴油機轉速。

如果驅動裝置的傳動比 i 不能隨機車速度 V 而改變，則由於柴油機扭矩 M_d 與轉速 n_d 的關係几乎是一根水平線（見圖0—2），機車牽引力 F_k 和速度 V 的關係也將几乎是一根水平線，這和圖0—1所表示的機車理想牽引特性曲線有很大的距離。所以，為了使機車輪周牽引力 F_k 能夠隨著速度 V 的改變而改變，機車驅動裝置的傳動比 i 必須能夠隨著速度 V 的改變而改變。

機車速度 V 和動輪轉速 n_k 成正比，即 $V = a \cdot n_k$ （ a 是常數），則當驅動裝置的傳動比 i 隨著速度 V 而改變時，將有以下的關係：

$$\left. \begin{aligned} V_{\max} &= a \cdot n_{k\max} = a \cdot i_2 \cdot n_{d, \text{hop}} \\ V_{\min} &= a \cdot n_{k\min} = a \cdot i_1 \cdot n_{d, \text{min}} \end{aligned} \right\} \quad (0-7)$$

式中 $n_{k\max}$ 和 $n_{k\min}$ —— 对应 V_{\max} 和 V_{\min} 的动輪轉速。

i_2 和 i_1 —— 对应 V_{\max} 和 V_{\min} 的驅動裝置傳動比。

这时候的机車工作速度範圍

$$P = \frac{V_{\max}}{V_{\min}} = \frac{a \cdot i_2 \cdot n_{d, \text{hop}}}{a \cdot i_1 \cdot n_{d, \text{min}}} = \frac{i_2}{i_1} \cdot \delta \quad (0-8)$$

因此，当傳動比 i 可以随着机車速度 V 而改变时，只要合理选择 $\frac{i_2}{i_1}$ 这一比值，就可以使由 (0-8) 式所决定的机車工作速度範圍 P 满足鐵路运输的要求。

此外，由图 0-2 看出，柴油机只有以其額定轉速 $n_{d, \text{hop}}$ (最大工作轉速) 工作时，才能輸出最大功率 $N_{e, \text{max}}$ 。故为了使机車在工作速度範圍內始終保持最大的輪周功率，还必须使柴油机在机車工作速度範圍內始終保持額定轉速。这一任务也可以由驅動裝置完成。

綜合上述，由于柴油机的特性不能适应机車牽引特性的需要，对于自柴油机曲軸至机車动輪之間的驅動裝置提出了兩項任务：使傳動比 i ($= \frac{n_k}{n_d}$) 随着机車速度的改变而改变以及使柴油机在机車工作速度範圍內始終保持額定轉速。

自柴油机曲軸至机車动輪之間的驅動裝置由許多部件組成，其中担负着完成以上所提出的兩項任务的部件就称为傳動裝置。所以傳動裝置是驅動裝置中最重要的部分，驅動裝置中除傳動裝置以外的其他部分都称为輔助驅動裝置。

柴油机特性不能适应机車牽引特性的需要就是內燃机車必需傳動裝置的原因。

§2. 內燃机車三种基本传动裝置

傳動裝置在完成§1所提出的兩項任务的过程中，还應該滿足以下几点要求：

1. 傳動裝置中的能量損失应尽可能小，以得到尽可能高的驅動效率 η_n 。
2. 傳動裝置应有最小的重量和尺寸。
3. 傳動裝置應該工作可靠，造价及維修費低。
4. 机車在前进或后退时都应具备同样的牽引特性。因此如果在輔助驅動裝置中沒有換向裝置，傳動裝置中应有換向裝置。

目前內燃机車上采用三种基本的傳動裝置：电傳動、机械傳動和液力傳動。这三种傳動裝置基本上都能完成§1所提出的兩項任务以及滿足上述的几点要求。

在电傳動裝置中，柴油机輸出的功率經由发电机、牵引电动机、輔助驅動裝置而傳到机車动輪。由发电机和牵引电动机共同完成对傳動裝置所提出的任务。电傳動裝置的傳動比 i 是随着机車速度的变化而无級改变，故由 (0-6) 式，机車的牵引力 F_n 也将随着机車速度的变化而无級变化，机車的牽引特性曲綫可以是接近于双曲綫的平滑曲綫。电傳動裝置的效率介于机械傳動和液力傳動之間，是目前大功率內燃机車用得最广泛的一种傳動裝置。但是它要消耗大量貴重的有色金属（約 4 ~ 5 吨/千馬力）。和其他两种傳動的机車比較，电傳動內燃机車的重量較大、造价較高。

在机械傳動裝置中，柴油机輸出的功率經由主离合器、齿輪变速箱、輔助驅動裝置而傳到机車动輪。完成对傳動裝置所提出的任务的是主离合器和齿輪变速箱。在三种傳動裝置中，机械傳動的效率最高，而且結構简单。但是它有以下严重的缺点：傳動比 i 是分級变化而在每一級內保持不变，因此机械傳動机車的牵引力和速度的关系不可能是接近双曲綫的平滑曲綫；在某一級不变的傳動比下工作时，柴油机轉速将随着机車速度的降低而降低，故不能充分利用柴油机的功率；由一級傳動比改变为另一級傳動比（称为换档）时，变速箱中的齿輪或档位离合器之間会发生冲击；在机械傳動裝置工作时，主离合器中的主、从部分总会

发生滑轉，引起主离合器的磨耗和发热，传递的功率越大，磨耗和发热就越严重。由于这些严重的缺点，目前在大功率的内燃机車上，除了以燃气輪机作为动力的机車以外，均不采用机械傳动装置。机械傳动装置主要用于小功率的内燃机車。

在液力傳动装置中，柴油机输出的功率經由液力变速箱、輔助驅動装置而傳到机車动輪。由液力变速箱完成对傳动装置所提出的任务。液力傳动装置的傳动比可以随着机車速度的改变而无級地变化，而且可以使柴油机始終維持在額定轉速下工作，因此液力傳动机車的牽引特性曲綫可以是接近双曲綫的平滑曲綫。同时，液力傳动机車只需消耗少量的有色金属、重量較輕和造价較低，又沒有机械傳动装置所存在的缺点，尽管它的傳动效率在三种傳动装置中是最低的（稍低于电傳动），但是，如果把机車重量考慮在內，而在机車挽鉤上計算牵引力及效率（这样比較合理），則液力傳动机車的优点比电傳动机車有过之而无不及。基于上述原因，液力傳动装置便日益广泛地为人們所重視，特別是内燃机車上已經应用起来，而在交流电力机車上也有采用它的可能性。

与其他的科学技术一样，液力傳动装置也是由低級而高級，在发展的过程中也遇到过不少的阻碍。

动液傳动是在20世紀初发明的，距現在还不到六十年。十九世紀90年代以前，在船舶上是用低速的蒸汽机和柴油机与螺旋桨直接相連作为动力。90年代以后出現了效率高、尺寸和重量小的高速柴油机和汽輪机，非常适用于大功率的船舶。但由于螺旋桨只能在低速下工作，要把高速的原动机和螺旋桨相連，就需要傳动装置。当时齿輪傳动的技术水平还处在低級阶段，不能胜任高速運轉，电傳动也未成功，于是就采用了离心泵及液力渦輪机作为傳动装置。这种傳动装置的示意图如图0—3所示。

图0—3中，离心泵2的軸1和原动机相連。原动机工作时，离心泵将工作液体自槽9經管10吸入。液体在泵中获得能量后，就經由管3被送至渦輪机4，推动渦輪机作功。渦輪机軸5与工作机械（例如螺旋桨）相連。液体将能量傳給渦輪机后，即沿管6流入槽7。槽7的液体可經由管8流回槽9，再被离心泵吸入。液体就是这样作为一种傳递能量的介质循环不已。

当时有一些权威人士对这一方案提出了意見：“認為在离心泵中的損失不小于15%，而在渦輪中的損失不小于10%，如果假設主要管路的損失不小于5%的話，这种傳动装置的總效率充其量也不过70%”。那就是說这种傳动方案是沒有希望的。

为了减少图0—3这一傳动系統中的能量損失，1902年德国人弗丁杰（H.F. öttinger）提出将傳动系統中的各部分造成一个整体的傳动装置方案（見图0—4），这种傳动装置就称为液力变扭器。直至1907年第一次試驗成功后，变扭器就大量作为船用傳动装置。后来逐渐发展作为内燃机車、汽車、拖拉机及其他工业用傳动装置。

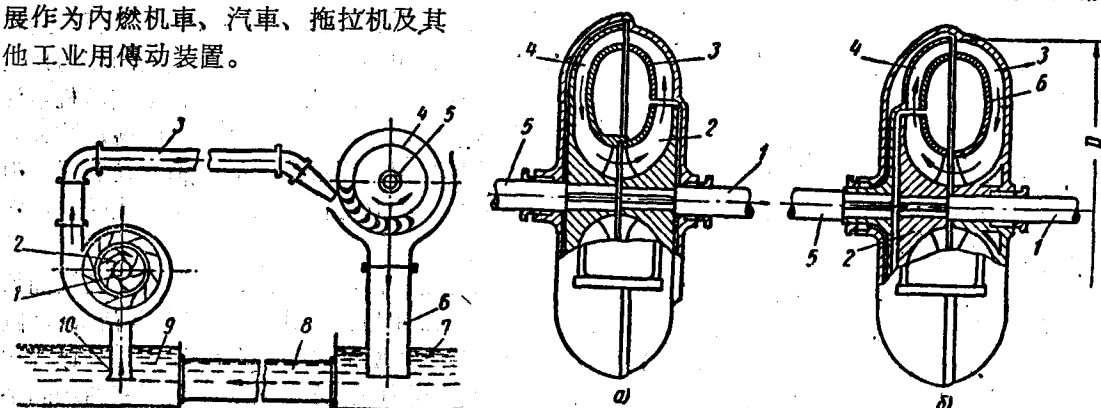


图0—3 涡輪式液力傳动装置的示意图。

1—离心泵軸；2—离心泵；3、6、8和10—管子；4—渦輪机；5—渦輪机軸；7和9—液槽。

图0—4 液力变扭器简图。

1—主动軸；2—泵輪；3—導向器；4—渦輪；5—从动軸；6—内环。

按照图0—4a，在主动軸1上裝有泵輪2，它把工作液体送入固定的導向器3，然后液体进入装在从动軸5上的渦輪4，液体把自泵輪得到的能量傳給渦輪后，又流回泵輪。

工作液体在变扭器內循环流动，它所經過的空間称为循环圓。事实上，液体并不是在循环圆这一平面內循环，其循环路線如图0—5所示。

图0—4b的方案和图0—4a类似，其区别在于液体由泵輪先經渦輪、再到導向器。因此，进入渦輪的液流方向和离开泵輪的液流方向相同，即渦輪的旋轉方向和泵輪相同，也就是从动軸和主动軸的旋轉方向相同。而在图0—4a中，液流由于導向器的作用，其进入渦輪时的流动方向可以和离开泵輪时不同。因此就有可能使从动軸的旋轉方向和主动軸相反。

在变扭器技术水平发展的同时，齒輪傳动装置也趋向完善（傳动比增大、效率高达0.97~0.98），它又逐渐代替了变扭器。

齒輪傳动装置本身可以改变所傳递的扭矩。但是为了避免齒輪的损坏，在齒輪装置和柴油机中間需装有彈性联軸节。因此，就出现了液力偶合器，作为齒輪傳动装置的彈性联軸节应用。与变扭器比較，偶合器沒有導向器。其作用原理和变扭器相似（图0—6）。

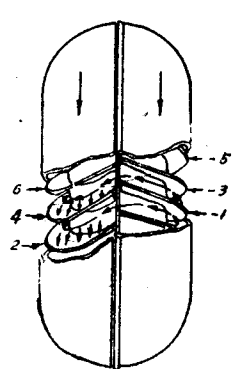


图0—5 液体在变扭器中的循环路線
1—泵輪；2—渦輪；3—外壳；4—内环；
5—渦輪軸；6—泵輪軸。

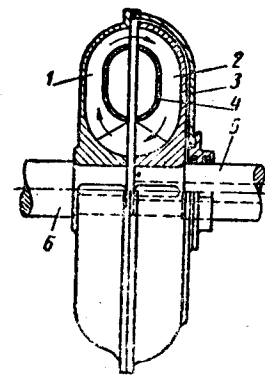


图0—6 液力偶合器簡圖：
1—泵輪；2—渦輪；3—外壳；4—内环；
5—渦輪軸；6—泵輪軸。

由于变扭器本身有許多优点，而且經過不断地改进，使变扭器的效率可达90%以上，故目前又被广泛地采用。

目前液力傳动装置大量应用于汽車、拖拉机和战斗車輛上。大功率液力傳动內燃机車目前虽然为数不多，但它在全部內燃机車中的比重正在逐年增加。功率达2200馬力的液力傳动內燃机車已在正式投入运用；功率为2000馬力的液力傳动机車正在試运；而功率为4000馬力的液力傳动机車則正在試制。

苏联很早就从事液力傳动装置的研究工作，是世界上最具有成就的国家之一。苏联現在除已成批生产液力傳动調車机車外，还正在試制和試运不同功率和不同用途的液力傳动机車。各机車工厂和鐵道科学研究所正为制造出最好的液力傳动装置而进行着大量的工作。

1958年起，随着我国的工农业大跃进，铁路上不仅出現了电傳动內燃机車，而且也試制成了液力傳动机車。四方机車車輛工厂繼1958年試制成600馬力液力傳动的內燃机車后，又于1959年制成了每节2000馬力（2×1000）的液力傳动客运机車。目前我国各內燃机車制造厂正在已取得的經驗的基础上，繼續研究、設計和試制各种用途的液力傳动內燃机車。

本課程的目的就是扼要介紹机械傳动及液力傳动的构造、原理及設計計算方法。

第一部分 机械传动

§1. 机械传动装置的工作原理

内燃机车的机械传动装置由主离合器，档位离合器和齿轮变速箱组成。变速箱的主动轴通过主离合器与发动机的曲轴相联，从动轴则经万向轴和车轴减速箱（或经输出轴和连杆机构）与机车的动轴相联，如图I—1所示。改变变速箱中参加工作的齿轮付，就可使主从动轴获得数档（图I—1中是3档）不同的传动比。

机车的持续速度就是机车能在这种速度下进行长期的运转的工作速度，其最大和最小数值受到各种因素的限制。对于机械传动内燃机车来说，最大持续速度受结构和发动机最大转速的限制，而在最低持续速度时主离合器应无摩擦而工作。机车在低于最低持续速度只能作短时间运转。

现在我们来研究具有三档速度（图I—1）的机械传动内燃机车的工作过程。

由于机车在起动时和低速时需要很大的牵引力，因此起动前应使变速箱处于减速比较大的第Ⅰ档上，这只要合上第Ⅰ档档位离合器和脱开第Ⅱ、Ⅲ档档位离合器即可。然后脱开主离合器，使柴油机在无载情况下起动，并使它保持在最低转速 n_{\min} 进行运转。接着就慢慢地合上主离合器，机车就开始起动。

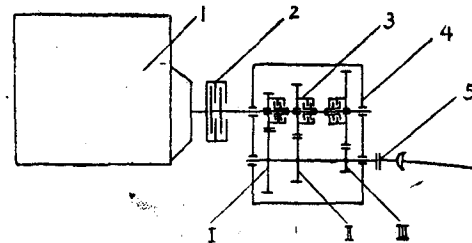
内燃机车机械传动装置中的主离合器一般都采

用圆盘式摩擦离合器。它的主动摩擦片和柴油机的曲轴相联，从动摩擦片和变速箱主动轴相联。压紧主动摩擦片后，依靠片间摩擦力的作用，能将扭矩由主动摩擦片传给从动摩擦片，而且所传递的扭矩和片间的压力成正比。在正常的压力下，主离合器能很好地传递柴油机的额定扭矩 M_d 。

主离合器合上后，柴油机的扭矩就通过主离合器，变速箱主动轴，经档位离合器和齿轮付Ⅰ，由变速箱从动轴而传到机车的轮对（这时齿轮付Ⅱ、Ⅲ在主从轴上空转，不传递扭矩），使机车产生牵引力 F_{et} 。随着主离合器摩擦片间压力的逐步增加，机车的牵引力也逐渐增大，当牵引力大于机车所需克服的列车起动阻力 W 时（图I—2的点A），机车就开始起动。同时由于主离合器摩擦片间的压力逐步达到规定值，主离合器立即传递柴油机的额定扭矩，牵引力也迅速增加到额定数值 F_{et} 。

随着机车的速度逐渐增加，主离合器从动摩擦片的转速也逐渐增大，也就是说，主从动摩擦片间的相对摩擦逐渐减小，当机车的速度增加到 V_{\min} 时，从动摩擦片的转速刚好等于主动摩擦片的转速，摩擦停止。在这种速度下机车可以持续运转。

此后，由于起动后列车的阻力迅速减小，机车速度继续由 V_{\min} 增加到 V_1 ，柴油机的转速也由 n_{\min} 增加到最大转速 n_{\max} 。由柴油机扭矩转换而得的机车牵引力 F_{et} 在 V_{\min} 到 V_1 范围内几乎保持不变，柴油机的功率 N_d 在 V_{\min} 前保持常值，在 V_{\min} 后则和机车的速度成正比，如图I—2所示。



图I—1 机械传动原理图：
1—发动机；2—主离合器；3—档位离合器；
4—变速箱；5—从动轴输出法蓝；I, II和
III—档位数。

由于机車持续工作的速度范围要比柴油机的弹性系数大得多，机車速度到 V_1 后还必须继续增加，而柴油机的轉速已到达最大值，不能再增加了，为了解决这个矛盾，变速箱必須換档。也就是说，必須减小变速箱主从动軸間的傳动比，使机車能繼續加速前进。

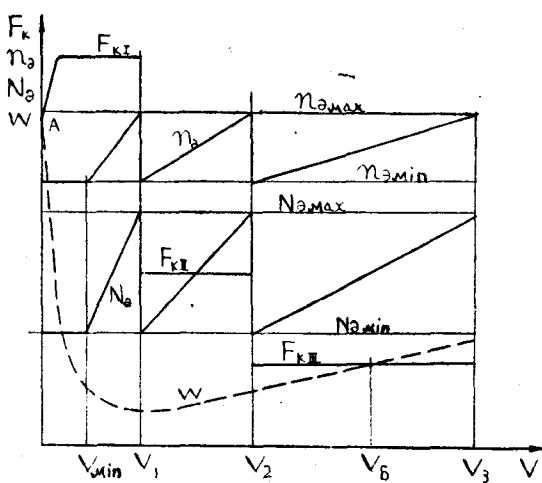


图 I-2 具有三档速度变速箱的机械传动内燃机車的牽引力，列車阻力，柴油机轉速，柴油机功率和机車速度的关系：

F_k —机車牽引力； W —列車阻力； n_d —柴油机轉速； N_d —柴油机功率； V —机車速度。

主动軸和其所帶零件慣量較大，同步过程中冲击也愈大。因此，机車上档位离合器一般不用爪牙式，而用圓盤摩擦式。在同步过程中依靠摩擦片之間的摩滑而吸收其冲击，使換档过程比較平稳。

和摩擦离合器相比，爪牙式离合器具有尺寸小，重量輕，結構簡單，运用中很少磨耗的优点。如在爪牙离合器中装以专门的同步机构，就能消除同步过程中所产生的冲击。因此，在功率較小的机車上，也有采用装有同步机构的爪牙离合器作为档位离合器的。

換档时如不先脱开主离合器，则換档将在功率传递下进行，而在換档过程中要和变速箱从动軸同步的慣量，除变速箱主动軸外，还包括柴油机曲軸、飞輪以及与曲軸相联的运动部份，这就会增加同步过程中的冲击，使档位离合器工作恶化。

变速箱由 I 档換到 II 档以后，就合上主离合器。

主离合器的从动摩擦片和变速箱主动軸相联，由 I 档換到 II 档后其轉速已經降低。当主离合器开始合上时主动摩擦片的轉速仍等于柴油机的最大轉速 $n_{d\max}$ ，由于在这个最大轉速下柴油机的扭矩不能立即克服从动摩擦片所帶的慣量（包括机車車輛的慣量），使机車車輛立即加速。因此柴油机的轉速下降，降到 $n_{d\min}$ 后主动摩擦片的轉速剛好等于从动摩擦片的轉速，摩滑停止。換档过程到此結束。

由 I 档換到 II 档后，变速箱主从动軸間傳动比減小，机車牽引力 $F_{k\text{II}}$ 也比 $F_{k\text{I}}$ 減小（見图 I-2）。如果这时机車牽引力仍大于列車阻力，則机車速度繼續由 V 增加到 V_2 ，柴油机的轉速也相应由 $n_{d\min}$ 增加到 $n_{d\max}$ 。到了 V_2 后如机車速度还要增加，則必須将变速箱由 II 档換到 III 档，換档过程仍如上述。

由 II 档換到 III 档后，变速箱主从动軸間傳动比減小，机車牽引力 $F_{k\text{III}}$ 又比 $F_{k\text{II}}$ 減小，柴油机轉速再由 $n_{d\max}$ 減到 $n_{d\min}$ 。这时如牽引力仍大于列車阻力，机車繼續加速。到平衡速度 V_6 后，机車牽引力等于列車阻力，列車就等速前进。

V_3 是机車在牽引状态下所能达到的最大速度，該時柴油机的轉速为 $n_{d\max}$ 。

当线路纵断面改变，使列車阻力增加而大于机車的牽引力时，机車开始减速。机車减速

換档過程是这样进行的：先脱开主离合器，次脱开第 I 档档位离合器，再合上第 II 档档位离合器，最后合上主离合器。

机車和所牵引的列車的慣量是很大的，在換档时的一刹那間机車的速度几乎不发生变化。由于变速箱从动軸和机車車軸剛性相联，因此在換档时从动軸的轉速也几乎不变。但是，換档前后变速箱中傳递功率的齒輪付由 I 轉換到 II，傳动比減小了，在从动軸轉速不变的情况下，必須减小主动軸的轉速。換档时变速箱主动軸轉速增加或减小使与对应档位的从动軸轉速相适应的过程，叫做同步。

如果采用爪牙式离合器作为 档位 离合器，在換档时把档位离合器接入后，主动軸轉速将立即減低以和从动軸同步，在这个极短的同步过程中，离合器爪牙間将产生极大的冲击。特別在功率較大的机車上，变速箱

时变速箱的换档过程和加速时一样，只是在换档后柴油机的转速不是降低，而是由 n_{dmin} 增加到 n_{dmax} 。

具有三档速度变速箱的机械传动内燃机车，其机车牵引力，列车阻力，柴油机转速，柴油机功率和机车速度的关系，如图 I—2 所示。

通过以上的分析后我们可以看到，机械传动内燃机车的优点是：

机械传动装置的结构制造简单，重量轻和尺寸小，其驱动效率在各种传动装置中是最高的，一般可达 0.88~0.94。

但是，它也有下列缺点：

(1) 机车的牵引力是多级的，跳动的，和牵引力按双曲线规律随机车速度而变化的机车理想牵引性能是有差别的。当变速箱档数愈多时，这一差别就愈小。

(2) 换档时机车的牵引力中断，这是由于一般在换档时必须脱开主离合器之故。由于换档时间相对较长，当列车上坡需要机车发出较大牵引力而换档时，牵引力发生中断现象是很不希望的。

(3) 在机车持续工作速度范围内，柴油机发出的功率在 N_{dmin} 和 N_{dmax} 之间变化，只有在个别的速度上 (I 档的 V_1 , II 档的 V_2 和 III 档的 V_3) 柴油机才发出最大 (额定) 功率。因此，机车的功率输出率不高，当变速箱的档数愈多时，柴油机的功率输出率愈高。

(4) 在机车起动和换档时，主离合器将产生不可避免的磨耗和发热，因此摩擦片必须经常更换。档位离合器如采用爪牙式，则必须具有复杂的同步机构；而采用摩擦式时，虽无需同步机构，但在机车功率较大时，其尺寸和重量就较大。

大功率干线机车的任务是在干线上牵引客货列车，要求机车在绝大部分运转时间中发出全部的功率，因此希望柴油机有较高的功率输出率。同时，希望机车牵引力的变化比较平稳，在换档时不要有很大的跳动，以减少在线路纵断面变化时机车和所牵引列车之间的冲击。而采用机械传动的干线内燃机车远远不能满足这些基本要求，因此，在大功率干线内燃机车上机械传动很少应用，而且今后也没有发展前途。

调车机车的任务是在编组站或厂矿内部调度车辆，其工作的特点就决定了不可能在机车大部分运转时间中发出全部功率，发动机的功率一般都有较大的储备，因此对柴油机的功率输出率要求不高。其次，调车机车的工作地点多在平道上，换档时对牵引力的跳动并不十分敏感，而希望传动装置的结构制造简单、重量轻、尺寸小、工作可靠，因此在功率较小的调车内燃机车上，广泛地采用机械传动。

大城市间高速客运的重油列车，一般希望在列车起动后获得很大的加速度，发动机的功率往往有很大的储备，功率输出率要求不高。同时希望传动装置结构简单，效率较高；因此在重油列车上，也广泛采用机械传动。

必须指出，上述结论只对机车发动机采用柴油机的内燃机车才是正确的。如果机车发动机采用外特性如图 I—3 所示的燃气轮机，则结论就完全不同。变速箱具有三档速度的机械传动燃气轮机车的牵引性能如图 I—4 所示。由图 I—4 可见，大功率机械传动内燃机车上所具有的牵引力跳动和发动机功率输出率不足的重大缺点，在燃气轮机车上并不存在。而机械传动的效率高，制造和结构简单、重量轻和尺寸小的优点就更

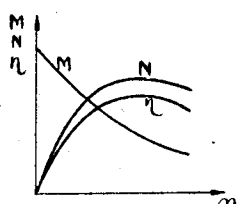


图 I—3 燃气轮机的外特性：
 M —输出轴扭矩；
 N —功率；
 η —效率；
 n —转速。

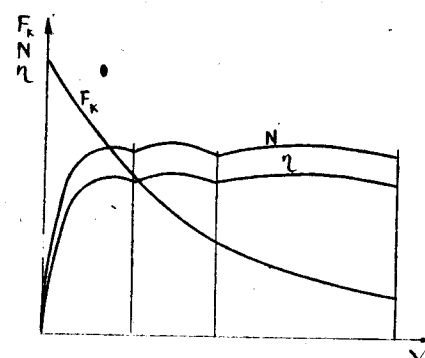


图 I—4 具有三档速度的机械传动燃气轮机车的牵引特性：
 F_k —机车牵引力；
 N —燃气轮机功率；
 η —机车效率；
 V —机车速度。

加突出。因此，在大功率燃气輪機車上采用機械傳動具有廣闊的發展前途。

§2. 機械傳動裝置的設計計算

在設計內燃機車機械傳動裝置之前，應由機械傳動裝置的設計技術任務書中獲得下述基本參數：柴油機的最大和最小轉速、柴油機最大（額定）功率、外特性曲線；機車的構造速度、最低持續速度、動輪直徑、輔助驅動裝置的型式和變速箱允許的限界尺寸等。

在有了上述基本參數，可按下述方法進行設計計算：

1. 變速箱速度檔數的決定

根據機車持續工作的速度範圍 P 和柴油機的彈性系數 δ ，就可決定變速箱的速度檔數。

設計時，為了保證主離合器在機車持續工作速度範圍內不致產生摩滑，機車的最低持續速度應大於或至少等於主離合器摩滑停止時的機車速度 V_p ，即

$$V_{\min} \leq V_p;$$

若取
則

$$V_{\min} = V_p,$$

$$V_1 = \delta V_{\min};$$

$$V_2 = \delta V_1 = \delta^2 V_{\min};$$

$$V_3 = \delta V_2 = \delta^3 V_{\min};$$

.....

$$V_n = \delta V_{n-1} = \delta^n V_{\min},$$

式中 V_1, V_2, \dots, V_n 為相應各檔的機車的最大速度，在這一速度時柴油機的轉速為最大轉速 $n_{\theta\max}$ ， V_n 應等於機車的構造（最大）速度。

機車的持續工作速度範圍

$$P = \frac{V_{\max}}{V_{\min}} = \frac{V_n}{V_{\min}} = \frac{\delta^n V_{\min}}{V_{\min}} = \delta^n,$$

由此可得變速箱的檔數

$$n = \frac{\log P}{\log \delta}.$$

實際上，由於換檔過程中機車的牽引力中斷，換檔後機車的速度有可能減低。為了使柴油機的工作更加穩定和留有餘地，避免在換檔後因柴油機的轉速低於最低轉速 $n_{\theta\min}$ 而引起柴油機熄火；同時也為了提高柴油機的功率輸出率，設計時並不採用柴油機的最低轉速，而用較高的 $n'_{\theta\min}$ 來代替 $n_{\theta\min}$ ，即 $n'_{\theta\min} > n_{\theta\min}$ 。則

$$\frac{n_{\theta\max}}{n'_{\theta\min}} = C < \delta,$$

式中 C ——實際應用的柴油機轉速變化範圍，一般取 $C = 1.4 \sim 2.2$ 。

因此，變速箱的檔數

$$n = \frac{\log P}{\log C} \quad (I-1)$$

內燃機車變速箱的檔數一般在 3 ~ 5 檔之間（在燃氣輪機車上多為 2 檔）。

必須指出，變速箱檔數的增多雖然能提高柴油機的功率輸出率和減小換檔時牽引力的跳動現象；但同時也將使變速箱結構複雜，製造成本增加和換檔的控制困難，因此過份地增加檔數也是不適當的。

2. 變速箱各檔機車速度的分配

為研究方便起見，我們以四檔速度的變速箱作為計算對象。

變速箱各檔的機車速度可按下式求得：

$$\frac{V_4}{V_3} = \frac{V_3}{V_2} = \frac{V_2}{V_1} = C. \quad (I-2)$$

已知 V_4 等于机車的构造速度，則

$$V_3 = \frac{V_4}{C},$$

$$V_2 = \frac{V_3}{C} = \frac{V_4}{C^2},$$

$$V_1 = \frac{V_2}{C} = \frac{V_4}{C^3},$$

式中 $0 \sim V_1$ —— 变速箱第 I 档工作时机車的速度范围；

$V_1 \sim V_2$ —— 变速箱第 II 档工作时机車的速度范围；

$V_2 \sim V_3$ —— 变速箱第 III 档工作时机車的速度范围；

$V_3 \sim V_4$ —— 变速箱第 IV 档工作时机車的速度范围。

机車的最低持續速度也可按 (I-2) 式求得，即

$$V_{\min} = \frac{V_1}{C}.$$

3. 变速箱各档总減速比的确定

总減速比就是指柴油机轉速和机車動輪轉速之比。由于机車在构造速度 V_{\max} 时柴油机的轉速为最大轉速 $n_{\theta\max}$ ，因此第 IV 档总減速比

$$i_{\text{IV}} = \frac{n_{\theta\max}}{n_{k\max}}, \quad (\text{I}-3)$$

式中 $n_{k\max}$ —— 机車動輪最大轉速，轉/分。

机車動輪轉速可按下式确定

$$n_{k\max} = \frac{V_{\max}}{0.1884 D_k},$$

式中 D_k —— 机車動輪直徑，米；

V_{\max} —— 机車构造（最大）速度，公里/时。

这样，第 IV 档总減速比

$$i_{\text{IV}} = \frac{n_{\theta\max} \cdot 0.1884 \cdot D_k}{V_{\max}},$$

其他各档总減速比

$$i_{\text{III}} = \frac{n_{\theta\max} \cdot 0.1884 \cdot D_k}{V_3} = i_{\text{IV}} \cdot C;$$

$$i_{\text{II}} = i_{\text{III}} \cdot C;$$

$$i_{\text{I}} = i_{\text{II}} \cdot C.$$

$$(\text{I}-4)$$

4. 变速箱型式的選擇和確定

变速箱型式可以在分析現有各种机車变速箱的基础上，加以选择或改进創造而得。在确定型式时除必須保証設計的技术要求外，尚須注意下列各点：

(1) 结构简单，装拆方便，以便于制造和维修。

(2) 变速箱中齿輪，軸，离合器等零件的数目应尽可能地少，以减少重量和尺寸，节约金属消耗和减低成本。

(3) 力求减少每档速度上傳递扭矩的齿輪对数，以提高机械傳动装置的效率。

(4) 为了使各档位离合器具有同样尺寸和改善其工作条件，档位离合器应放在扭矩較小的軸上，并使各档位离合器傳递相等的扭矩。

(5) 为了使錐齿輪的工作更加可靠，錐齿輪最好布置在扭矩較小的軸上。

(6) 摩擦式档位离合器最好布置在箱体之外，以便于检修。

(7) 变速箱应装有换向装置。同时，所有摩擦面必須保証有足够的潤滑。

具有四档速度的内燃机車变速箱如图 I—5 所示，图 I—6 为 1450 馬力内燃机車所用的变速箱。

柴油机的功率經主离合器由锥齿輪 1 輸入，經各齿輪后由与齿輪 6 和 13 相联的出力軸輸出。換向任务由装在锥齿輪 1 和 2 上的換向离合器完成。

各档速度时变速箱的功率傳递綫如下，I 档：锥齿輪 1 和 2，档位离合器 I，圓柱齿輪 3、4、5 和 6；II 档：锥齿輪 1 和 2，档位离合器 II、圓柱齿輪 8、9、5 和 6；III 档：锥齿輪 1 和 2，圓柱齿輪 10 和 11，档位离合器 III、圓柱齿輪 7 和 6；IV 档：锥齿輪 1 和 2，圓柱齿輪 10 和 11，档位离合器 IV、圓柱齿輪 12 和 13。

锥齿輪放在扭矩較小的輸入軸上。四个档位离合器由于所受扭矩的数值一样，其尺寸也一样，而且放在箱体外面便于檢修。

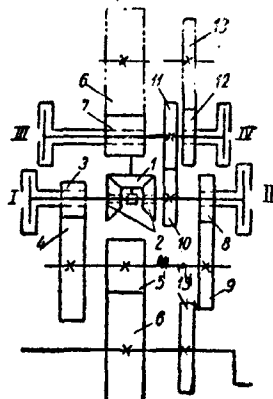


图 I—5 四档速度变速

箱示意图：

1~13—齿輪，
I~IV—档位离合器。

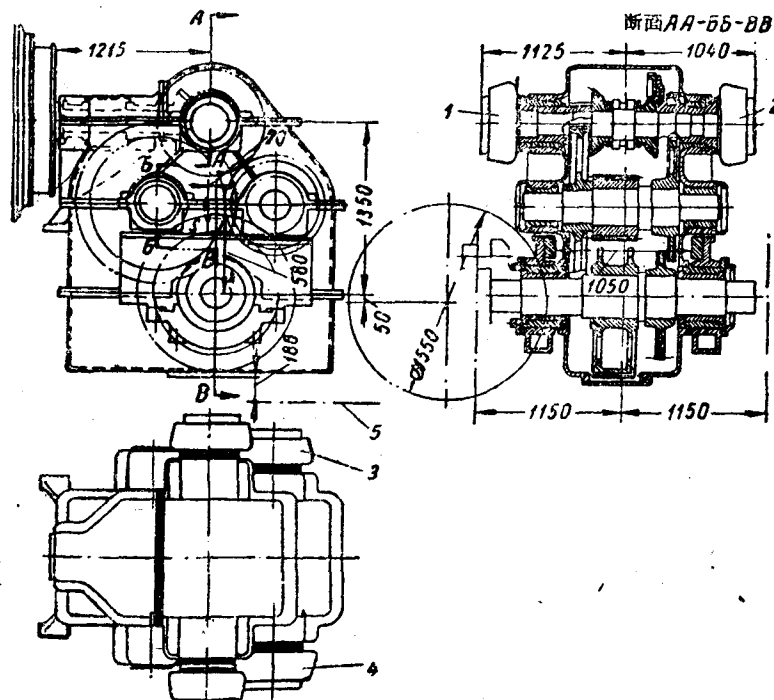


图 I—6 功率为 1450 馬力 (輸入軸轉速

為 470 轉/分) 内燃机車用变速箱：

1~4—档位离合器， 5—轨头平面。

5. 总減速比在各传动齿輪上的分配

各档总減速比应很好地配置在相应各档的各傳动齿輪上。对于由出力軸經連杆直接驅动机車动輪的变速箱，总減速比应全部分配在变速箱相应各档的傳动齿輪上。对于带有中間齒輪箱，万向軸和車軸減速箱的机械傳动装置，变速箱的減速比只是总減速比的一部份，而其余部份減速比則分配在中間齒輪箱和車軸減速箱上。必須指出，分配在中間齒輪箱和車軸減速箱上的減速比是固定的，并不随机車的速度而变。

例：給定

$$n_{\sigma \max} = 900 \text{ 轉/分};$$

$$C = \frac{5}{3};$$

$$V_{\max} = 100 \text{ 公里/時};$$

$$D_k = 1.5 \text{ 米};$$

求如图 I—5 所示的四档变速箱各傳动齿輪对的傳动比。

解：先求总減速比

$$i_N = \frac{n_{\sigma \max} \cdot 0.1884 \cdot D_k}{V_{\max}} = \frac{900 \cdot 0.1884 \cdot 1.5}{100} = 2.54;$$

$$i_{\text{III}} = i_N \cdot C = 2.54 \cdot \frac{5}{3} = 4.24;$$

$$i_{\text{II}} = i_{\text{III}} \cdot C = 4.24 \cdot \frac{5}{3} = 7.07;$$

$$i_{\text{I}} = i_{\text{II}} \cdot C = 7.07 \cdot \frac{5}{3} = 11.78.$$

取錐齒輪 1 和 2，圓柱齒輪 10 和 11 的傳動比為 1，即 $i_{1-2} = 1$ 和 $i_{10-11} = 1$ 。在這種情況下各檔位離合器所受到的扭矩相等，而且等於發動機的扭矩。

各對齒輪的傳動比是：

$$i_N = i_{1-2} \cdot i_{10-11} \cdot i_{12-13} = 2.54;$$

$$i_{12-13} = \frac{i_N}{i_{1-2} \cdot i_{10-11}} = 2.54,$$

$$i_{\text{III}} = i_{1-2} \cdot i_{10-11} \cdot i_{7-6} = 4.24;$$

$$i_{7-6} = \frac{i_{\text{III}}}{i_{1-2} \cdot i_{10-11}} = 4.24,$$

$$i_{\text{II}} = i_{1-2} \cdot i_{8-9} \cdot i_{5-6} = 7.07;$$

$$i_{5-6} = i_{7-6} = 4.24;$$

$$i_{8-9} = \frac{i_{\text{II}}}{i_{1-2} \cdot i_{5-6}} = 1.67,$$

$$i_{\text{I}} = i_{1-2} \cdot i_{3-4} \cdot i_{5-6} = 11.78;$$

$$i_{3-4} = \frac{i_{\text{I}}}{i_{1-2} \cdot i_{5-6}} = 2.78.$$

6. 机車牽引特性曲線的繪制

机車牽引特性就是指机車輪周牽引力 F_k 、輪周功率 N_k 和机車效率 η_a 与机車速度的关系。

机車輪周牽引力可按下式求得：

$$F_{ki} = \frac{2(1-\beta)M_\theta i_i}{D_k} \eta_{sk}^k \cdot \eta_{\theta m}^z, \quad (\text{I}-5)$$

式中 F_{ki} —— 第 i 檔時机車輪周牽引力，公斤；

M_θ —— 柴油机扭矩，公斤·米；

β —— 机車輔助裝置所耗功率占柴油机總功率的百分比，一般取 $\beta = 0.1$ ；

i_i —— 第 i 檔時總減速比；

D_k —— 动輪直徑，米；

η_{sk} —— 一對齒輪的傳動效率（已考慮到軸承中的損失）；

对精加工圓柱齒輪： $\eta_{sk} = 0.98 - 0.99$ ；

对精加工圓錐齒輪： $\eta_{sk} = 0.97$ ；

i_i —— 第 i 檔時傳遞扭矩的齒輪對數；

$\eta_{\theta m}$ —— 運動機構效率；

如在變速箱出力軸和動輪之間用連杆機構驅動，則

$$\eta_{\theta m} = 0.98^z;$$

式中 Z —— 連杆對數；

如用萬向軸驅動，則

$\eta_{\theta m} = 0.996^z$ —— 萬向軸傾角小於 2° ；

$\eta_{\theta m} = 0.99^z$ —— 萬向軸傾角小於 7° ；

式中： Z —— 萬向軸數。

变速箱各档速度时机車效率可按下式求得：

$$\eta_{ai} = \eta_e (1 - \beta) \gamma_{3k}^i \cdot \eta_{\theta m}^2 \quad (I-6)$$

式中： η_{ai} —— 第 i 档时机車效率；

η_e —— 柴油机效率。

公式 (I-5) 和 (I-6) 中柴油机的扭矩 M_2 和效率 η_e 将随柴油机轉速的改变而稍有改变。在各档机車速度中柴油机的轉速可按下式求得：

$$n_\theta = V \cdot \frac{n_{\theta \max}}{V_i} \quad (I-7)$$

式中 n_θ —— 机車速度为 V 时柴油机轉速，轉/分；

V —— 第 i 档时机車任意速度 (第 I 档时必須使 $V > V_p$)，公里/时；

V_i —— 第 i 档时机車最大速度；

$n_{\theta \max}$ —— 柴油机最大轉速。

柴油机扭矩 M_θ 和效率 η_e 随柴油机轉速 n_θ 变化的規律可由柴油机外特性中获得。

机車的輪周功率可按下式求得：

$$N_{ki} = \frac{F_{ki} \cdot V}{270} \quad (I-8)$$

式中 N_{ki} —— 第 i 档时机車輪周功率，馬力。

利用上述公式，即可作出机車的牽引性能曲綫，如图 I-7 所示。

7. 变速箱各部件的設計計算

这部份工作包括：齿輪的計算，軸的計算，軸承的选择，箱体計算，控制部份和其他輔助系統的設計計算等。这部份內容在机械零件中已經討論过，这里不再詳述。

齿輪和軸承的寿命在机車上一般以 20000 小时計算，在考慮箱体时应注意其外部尺寸是否在允許的限界之内。

接下去的工作是繪制技术設計和施工設計图纸，机械傳动的設計工作到此結束。

§3. 主离合器和档位离合器

主离合器和档位离合器是內燃机車机械傳动装置中的重要組成部份。主离合器又称起动离合器，其作用是：能使柴油机和傳动装置暫時分离，以保証柴油机能在无載的情况下起动；可以保持柴油机在最低轉速的情况下，使机車平稳地起动；换档时脱开主离合器，可使变速箱主从动軸在同步过程中的冲击大大减小。档位离合器的作用是完成变速箱的换档任务。在沒有主离合器的情况下，第 I 档档位离合器也完成主离合器的任务。

內燃机車机械傳动装置中主离合器和档位离合器多采用摩擦式的，因此在这一节里把摩擦离合器作为研究的对象。

机車用摩擦离合器由于传递功率較大和需要遙控，因此离合器的离合过程一般用压缩空气，压力油或电磁作用来完成的。

利用电磁力来完成离合作用的电磁摩擦离合器如图 I-8 所示。它由与軸固接的内轉子 2 和与齿輪(图中未表

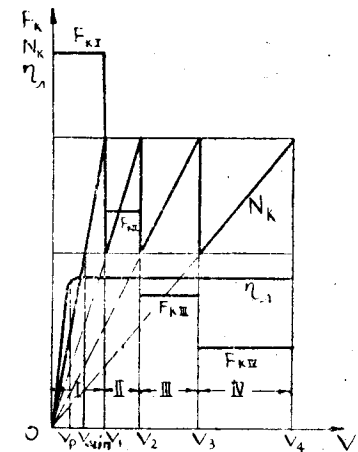


图 I-7 具有四档速度变速箱的机
械传动內燃机車的牽引性能曲綫：
 F_k —— 机車輪周牽引力； N_k —— 机
車輪周功率； η —— 机車效率； V ——
机車速度。

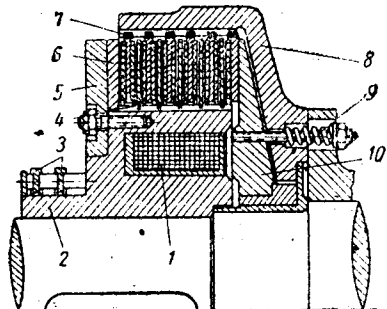


图 I-8 电磁摩擦离合器。
1 —— 电磁线圈； 2 —— 内轉子； 3 —— 接触
环； 4, 7 —— 摩擦片； 5, 6 —— 止推环； 8 ——
外壳； 9 —— 弹簧； 10 —— 衔铁垫圈。